

ФЕРРОМАГНИТНЫЙ ПЕРЕХОД В СТРУКТУРАХ GaAs/Mn/GaAs/In_xGa_{1-x}As/GaAs С ДВУМЕРНЫМ ДЫРОЧНЫМ ГАЗОМ

M. A. Панков^a, Б. А. Аронзон^{a,b}, В. В. Рыльков^{a,b**}, А. Б. Давыдов^a,
Е. З. Мейлихов^a, Р. М. Фарзетдинова^a, Э. М. Пашаев^a, М. А. Чуб^c,
И. А. Субботин^a, И. А. Лихачев^a, Б. Н. Звонков^d, А. В. Лашкул^{e***}, Р. Лайхо^{f***}*

^aРоссийский научный центр «Курчатовский институт»
123182, Москва, Россия

^bИнститут прикладной и теоретической электродинамики Российской академии наук
127412, Москва, Россия

^cФизико-технологический институт Российской академии наук
117218, Москва, Россия

^dНаучно-исследовательский физико-технический институт
Нижегородского государственного университета им. Н. И. Лобачевского
603950, Нижний Новгород, Россия

^eLappeenranta University of Technology, Lappeenranta, box 20, 5385, Finland

^fWihuri Phys. Lab., Department of Physics, Univ. of Turku, FIN-20014, Turku, Finland

Поступила в редакцию 21 января 2009 г.

Исследованы транспортные свойства структур GaAs/Mn/GaAs/In_xGa_{1-x}As/GaAs с удаленным от квантовой ямы слоем примесей Mn в диапазоне их содержаний 4–10 ат. %, которые соответствуют повторному переходу металл–изолят, наблюдаемому в объемном GaMnAs [17]. Подвижность дырок в исследованных объектах более, чем на два порядка, превышала известные значения для GaMnAs и магнитных гетероструктур на его основе, что позволило наблюдать осцилляции Шубникова – де Гааза, подтверждающие двумерный характер энергетического спектра дырок. Расчетная температура Кюри для гетероструктур с косвенным обменным взаимодействием через двумерный дырочный канал хорошо согласуется с положением максимума (при 25–40 К) на температурных зависимостях сопротивления канала. Это свидетельствует о существенной роли двумерных дырок в ферромагнитном упорядочении слоя Mn в этих условиях. Обнаружения отрицательного спин-зависящего магнитосопротивления и аномального эффекта Холла, величина которого хорошо коррелирует с результатами теоретических расчетов для ферромагнитных двумерных систем на основе A_{1-y}^{III}Mn_yB^V также указывают на существенную роль двумерного канала в ферромагнитном упорядочении.

PACS: 75.50.Pp, 71.55.Eq, 72.20.My, 72.25.Dc

1. ВВЕДЕНИЕ

Центральное место в изучении свойств разбавленных магнитных полупроводников (РМП) отводится в настоящее время A_{1-y}^{III}Mn_yB^V материалам

(в первую очередь GaMnAs), в которых ферромагнетизм инициирован зонными носителями (дырками в зоне проводимости или примесной зоне Mn) [1]. Эти материалы обладают относительно высокими температурами Кюри T_C и позволяют создавать различного рода гетероструктуры, которые могут служить основой будущих устройств спинtronики [1, 2]. До

*E-mail: aronzon@mail.ru

**E-mail: rylkov@imp.kiae.ru

***A. V. Lashkul, R. Laiho

сих пор, однако, основное внимание уделялось исследованиям трехмерных (пленочных) материалов A_{1-y}^{III}Mn_yB^V, хотя для создания, например, излучателей типа спиновых светодиодов или спиновых МОП-транзисторов [2, 3] необходимы исследования двумерных ферромагнитных систем на основе этих полупроводников.

Одна из проблем, характерных для подобных систем, — чрезвычайно низкая подвижность дырок (в GaMnAs $\mu_p = 1\text{--}5 \text{ см}^2/\text{В}\cdot\text{с}$ [4]), объясняемая высокой концентрацией марганца, который является акцептором и, соответственно, центром рассеяния, и положением уровня Ферми в примесной зоне даже в образцах с металлической проводимостью [4, 5]. Низкие значения подвижности, которые формально отвечают длине свободного пробега дырок, сравнимой с расстоянием между атомами Mn [6], не позволяют экспериментально проверить предсказание теории об увеличении температуры Кюри с ростом подвижности носителей (см., например, расчеты [7]) и судить о влиянии конечного пробега носителей заряда на магнитное упорядочение в РМП [6]. Низкие значения подвижности являются также одним из основных препятствий и для создания эффективных низкоразмерных ферромагнитных систем на основе GaMnAs.

Для исследования влияния рассеяния и размерного квантования на магнитные свойства РМП естественно обратиться к гетероструктурам с модулированным (удаленным) легированием, в которых можно одновременно обеспечить и более высокую подвижность носителей, и их эффективное взаимодействие с ионами Mn. Однако авторы немногочисленных работ, посвященных исследованию низкоразмерных структур A_{1-y}^{III}Mn_yB^V, стремились для достижения максимальных значений T_C обеспечить максимально большую плотность дырок непосредственно в области нахождения ионов Mn [8, 9]. Так, в работе [8] Mn вводился однородно в квантовую яму AlGaAs/GaAs/AlGaAs, по которой осуществлялся транспорт носителей заряда, а в работе [9], где исследовалась гетероструктура GaAs/AlGaAs, марганец находился в виде δ -слоя в дырочном канале проводимости вблизи гетерограницы.

К сожалению, такое пространственное «совмещение» магнитных примесей и носителей заряда приводит (наряду с усилением обмена) к сильному кулоновскому рассеянию на ионах Mn и, соответственно, к низкой подвижности дырок (не более $10 \text{ см}^2/\text{В}\cdot\text{с}$ [8, 9]). Заметим, что при таких подвижностях размытие уровней размерного квантования ($\Delta E \approx \hbar/\tau$, τ — время релаксации импульса) в квантовой яме

p-GaAs достаточно велико (не менее 200 мэВ) и, фактически, превышает энергетический зазор между уровнями. Поэтому термин «двумерность канала проводимости» в случаях [8, 9] следует понимать лишь по отношению к длине фазовой когерентности дырок, которая в GaMnAs может достигать примерно 100 нм при температурах не более 100 мК [5, 10].

Таким образом, можно констатировать, что в случае РМП на основе систем A_{1-y}^{III}Mn_yB^V ферромагнитное упорядочение в условиях размерного квантования дырок практически не наблюдалось и не исследовано и именно эта задача составляет предмет настоящей статьи. Заметим, что в квантовых ямах A_{1-y}^{II}Mn_yB^{VI} ферромагнитное упорядочение с низкими значениями $T_C \leq 1.8 \text{ К}$ все же наблюдалось, несмотря на существенный вклад антиферромагнитного обменного взаимодействия между атомами Mn в данных системах [11].

В настоящей работе на примере структур GaAs/In_xGa_{1-x}As/GaAs с удаленным от квантовой ямы δ -слоем атомов Mn и подвижностью дырок в канале, достигающей (при $T = 5 \text{ К}$) примерно $3000 \text{ см}^2/\text{В}\cdot\text{с}$, демонстрируется возможность ферромагнитного упорядочения в двумерных системах A_{1-y}^{III}Mn_yB^V с температурой Кюри около 40 К. Ранее нами сообщалось о наблюдении в аналогичных структурах аномального эффекта Холла [12], однако магнитотранспортные измерения были проведены лишь в диапазоне слабых магнитных полей ($B < 3 \text{ Тл}$), что недостаточно для выделения аномального эффекта Холла на фоне нормального и интерпретации его механизма. Ниже представлены результаты транспортных исследований в сильных квантующих полях (до 12 Тл), позволяющих выделить аномальный эффект Холла.

Найденные значения аномальной холловской проводимости согласуются с результатами недавних теоретических расчетов для двумерных ферромагнитных систем A_{1-y}^{III}Mn_yB^V [13], в которых предсказывается доминирующая роль внутреннего (бездиссипативного) механизма формирования аномального эффекта Холла. При этом двумерный характер энергетического спектра дырок подтвержден наблюдением осцилляций Шубникова—де Гааза в поле, перпендикулярном плоскости канала, и их отсутствием в продольной геометрии. Развитая недавно модель ферромагнитного упорядочения двумерных систем [14], учитывающая удаленность слоя Mn от области локализации носителей в двумерном канале и их большие длины свободного пробега, также дает значения T_C , разумно согласующиеся с результатами эксперимента.

2. ОБЪЕКТЫ ИССЛЕДОВАНИЙ

Выбор объектов исследований диктовался следующими соображениями. Известно, что дырочный спектр квантовых ям GaAs/ $In_xGa_{1-x}As/GaAs$ при $x \approx 0.2$ существенным образом определяется двухосным сжатием (вследствие рассогласования решеток GaAs и $In_xGa_{1-x}As$), приводящим к сильному расщеплению зоны Γ_8 легких и тяжелых дырок (до 90 мэВ) [15]. При этом эффективная масса первой подзоны размерного квантования оказывается достаточно малой ($m^* = 0.14m_0$), почти в четыре раза меньшей, чем в случае квантовых ям GaAs/AlGaAs [15]. Это существенно упрощает получение двумерных каналов с высокой подвижностью дырок.

Структуры с квантовыми ямами $In_xGa_{1-x}As$ шириной $d \approx 10$ нм в GaAs-матрице были созданы методом МОС-гидридной эпитаксии (рис. 1). Квантовая яма и окружающие ее слои GaAs (буфер, нижний и верхний спейсеры) были выращены при температуре 600°C , тогда как легирующий слой Mn и покровный слой GaAs выращивались при $T = 450^\circ\text{C}$. Дельта-слой Mn с концентрацией около 10^{14} см^{-2} , удаленный от квантовой ямы спейсером толщиной около 3 нм, создавался лазерным испарением мишени в процессе МОС-гидридной эпитаксии¹⁾. Кроме того, для компенсации эффектов обеднения квантовой ямы со стороны буфера был помещен акцепторный δ -слой атомов С (толщиной около $2 \cdot 10^{12} \text{ см}^{-2}$), отделенный от ямы спейсером шириной около 10 нм.

Структурные свойства полученных объектов были подробно изучены методами рентгеновской дифрактометрии и рефлектометрии и описаны в работе [16]. Использование этих методов позволило определить основные параметры структур — содержание In в квантовых ямах и, что наиболее существенно, пространственное распределение атомов Mn и их концентрацию N_{Mn} . Результаты этих измерений для двух структур (1 и 2), различающихся в несколько раз содержанием Mn, воспроизведены в нижней части рис. 1. Видно, что слой Mn размыт, причем тем

¹⁾ Потенциальные ямы в кванто-размерных структурах с односторонним легированием (а именно таковы структуры, изучаемые в нашей работе) являются прямоугольными лишь名义ально, а фактически всегда треугольны. «Перекашивающее» их электрическое поле создается за счет перехода заряда с легирующих примесей в яму и может быть оценено с помощью соотношения $E = (4\pi/\kappa)eN_s$, где N_s — двумерная концентрация носителей в яме (например, для образца № 2: $N_s \approx 10^5 \text{ В/см}$, что при толщине ямы 10 нм приводит к изгибу зон около 0.1 эВ, т. е. величине сопоставимой с глубиной ямы).

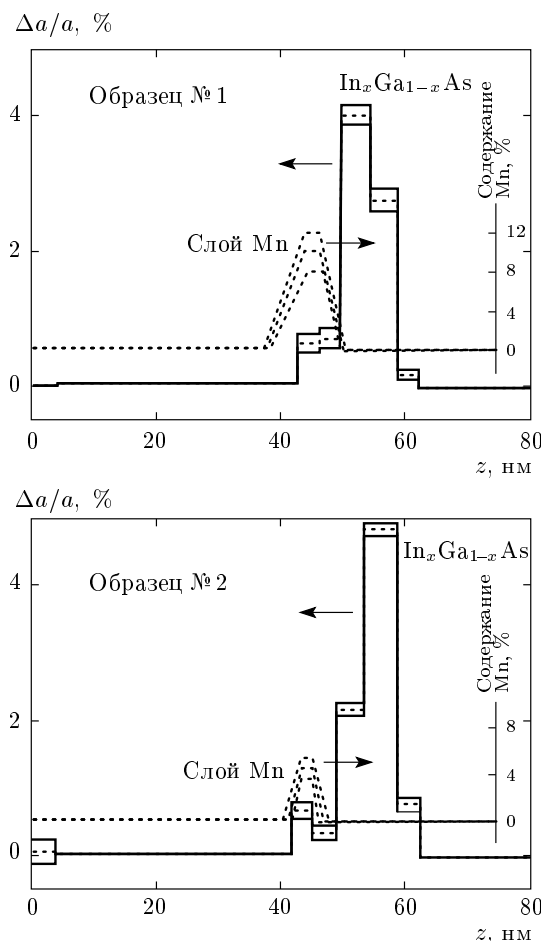


Рис. 1. Гетероструктура GaAs/ $In_xGa_{1-x}As/GaAs$ с удаленным от квантовой ямы δ -слоем Mn. В нижней части рисунка — распределения Mn и In в образцах № 1, 2 по данным рентгеновских измерений относительного рассогласования решеток $\Delta a/a$ в направлении роста структуры (a — постоянная решетки GaAs)

сильнее, чем выше содержание Mn, и его правильнее рассматривать как слой $Ga_{1-y}Mn_yAs$. Именно в единицах y представлено распределение содержания атомов Mn на рис. 1. Заметим, что несмотря на высокое содержание Mn в структуре 1 ($y \approx 0.1$, что соответствует $N_{\text{Mn}} \approx 1.2$ моносл. $\sim 10^{14} \text{ см}^{-2}$), его проникновение в квантовую яму достаточно мало. Если взять концентрацию Mn для структуры 1 в качестве опорной, то для остальных структур (с меньшими значениями концентрации Mn) ее можно найти, исходя из надежно контролируемых в технологическом процессе времени и интенсивности испарения Mn. Результаты рентгеновской дифрактомет-

рии и рефлектометрии совместно с данными холловских измерений подвижности μ_p дырок и их концентрации p при $T = 77$ К и $T = 5$ К приведены в таблице. Там же приведены параметры образца № 4, в котором вместо слоя Mn присутствовал акцепторный δ -слой С (толщиной около $2 \cdot 10^{12}$ см⁻²). Содержание Mn указано в эффективном количестве монослоев: $N_{\text{Mn}} = y(L/a)$, где L — ширина слоя Mn, a — постоянная решетки (5.66 Å для GaAs).

Исследования транспортных свойств квантовых ям были проведены в диапазоне температур 5–100 К и магнитных полях до 12 Тл на мезоструктурах, выполненных в виде двойного холловского креста (ширина проводящего канала $W = 0.3$ мм, расстояние между потенциальными зондами $L = 1.5$ мм).

3. РЕЗУЛЬТАТЫ И ИХ ОБСУЖДЕНИЕ

На рис. 2 приведены температурные зависимости сопротивления $R_{xx}(T)$ образцов № 1–4. Прежде всего отметим, что согласно данным, приведенным на этом рисунке, образец № 1 обладает активационным типом проводимости: с уменьшением температуры

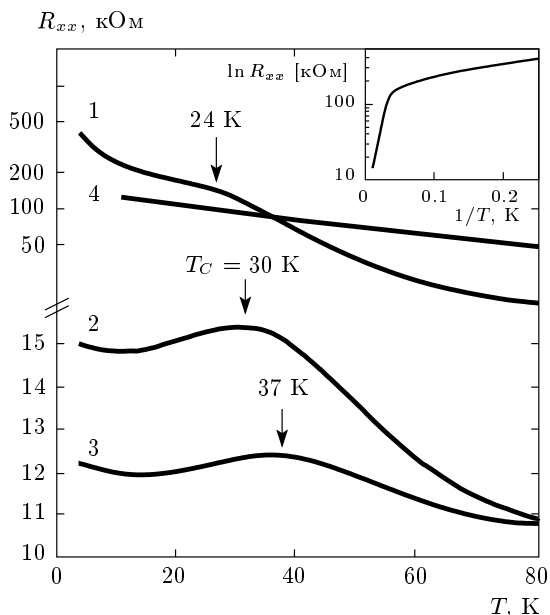


Рис. 2. Температурные зависимости сопротивления исследованных структур (номера кривых соответствуют номерам образцов в таблице). На вставке — температурная зависимость сопротивления образца № 1 в активационных координатах

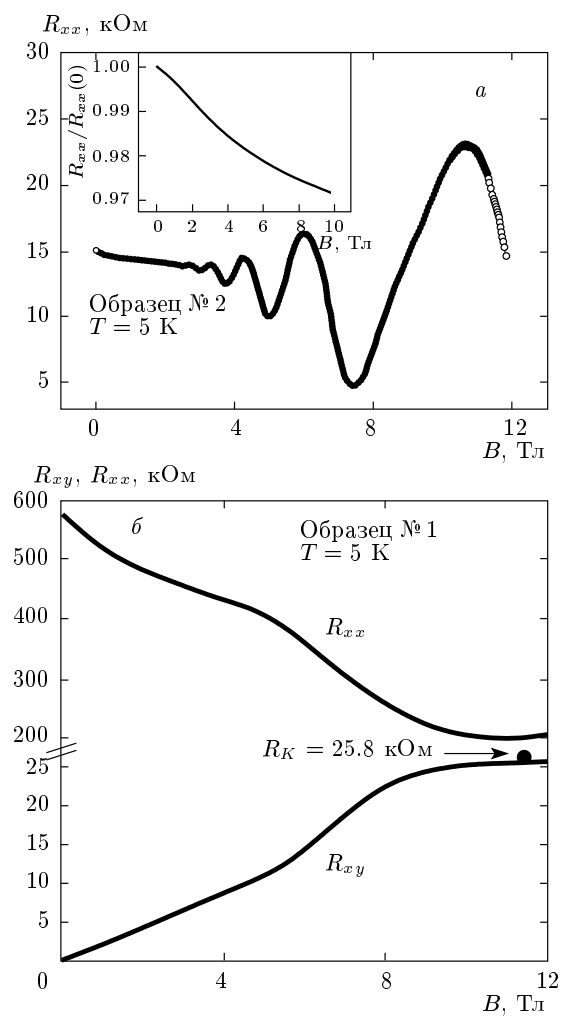


Рис. 3. а) Магнитополевая зависимость диагональной компоненты R_{xx} тензора сопротивления для образца № 2 с металлическим типом проводимости в поле, перпендикулярном плоскости двумерного канала. На вставке — та же зависимость в поле, параллельном плоскости двумерного канала. б) Магнитополевые зависимости диагональной R_{xx} и недиагональной R_{xy} компонент тензора сопротивления для образца № 1 с активационным типом проводимости в поле, перпендикулярном плоскости двумерного канала (R_K — сопротивление Клитцинга)

его сопротивление сильно возрастает, демонстрируя активационный характер проводимости (см. вставку к рис. 2). В то же время для образцов № 2, 3 сопротивление с уменьшением температуры меняется слабо, соответствуя квазиметаллическому поведению, которое подтверждается наличием ярко выраженных осциляций Шубникова–де Газа, показанных на рис. 3а.

Таблица. Параметры квантовых ям GaAs/In_xGa_{1-x}As/GaAs

Образец	$x^*)$	N_{Mn} , моносл.	$T = 77 \text{ K}$		$T = 5 \text{ K}$	
			$\mu_p, \text{ см}^2/\text{В}\cdot\text{с}$	$p, 10^{12} \text{ см}^{-2}$	$\mu_p, \text{ см}^2/\text{В}\cdot\text{с}$	$p, 10^{12} \text{ см}^{-2}$
№ 1 (4834)	0.16	1.2	1350	1.8	180	0.3
№ 2 (4831)	0.21	0.51	1860	2	2950	0.71
№ 3 (4843)	0.23	0.4	1930	1.8	3240	0.79
№ 4 (4847)	0.18	0	1600	0.5		

^{*)} По результатам рентгеновских измерений.

Главная особенность приведенных на рис. 2 зависимостей $R_{xx}(T)$ — наблюдающиеся для образцов № 2, 3 максимумы и перегиб для образца № 1 при $T = 25\text{--}40 \text{ K}$, а также отсутствие подобных особенностей для образца № 4, который легирован углеродом вместо марганца и в котором, таким образом, Mn отсутствует. Рост сопротивления с уменьшением температуры (до $T \approx T_C$) и наличие максимума в зависимости $R_{xx}(T)$ обусловлены общим свойством систем $\text{Al}_{1-y}\text{Mn}_y\text{B}^V$ [1], включая гетероэпитаксиальные [8, 9]. Эта особенность часто используется для определения температуры Кюри, в том числе в образцах с диэлектрическим характером проводимости [1, 6, 8, 9]. В нашем случае таким типом проводимости обладает образец № 1 с наибольшим содержанием Mn, тогда как образцы № 2, 3 являются квазиметаллическими: при $T < T_C$ сопротивление в них с уменьшением температуры изменяется в пределах 1 %. Соответствующие значения температур Кюри для этих образцов, найденные по максимуму сопротивления (или перегибу зависимости $R_{xx}(T)$ в случае образца № 1), составляют 24, 30, 37 K соответственно для образцов № 1, 2, 3, т.е. уменьшаются с увеличением содержания Mn. Заметим, однако, что при этом в области гелиевых температур уменьшается и концентрация свободных дырок. Именно такая ситуация возникает и в случае ферромагнитных пленок $\text{Ga}_{1-y}\text{Mn}_y\text{As}$ вблизи повторного (reentrant) перехода металл–изолят, наблюдавшегося при увеличении содержания атомов Mn в диапазоне $y = 0.04\text{--}0.07$ [17, 18]. Такое поведение объясняется сильным увеличением степени компенсации в $\text{Ga}_{1-y}\text{Mn}_y\text{As}$ (при $y \geq 0.05$), вследствие того, что в этих условиях атомы Mn занимают позиции

преимущественно в междоузлиях, где они выступают в качестве двойных доноров [1, 19]. Эта особенность $\text{Ga}_{1-y}\text{Mn}_y\text{As}$ играет важную роль и в гетероструктурах $\text{GaAs}/\text{AlGaAs}$, легированных Mn [9] и, по-видимому, в наших образцах. В нашем случае, однако, уменьшение T_C с увеличением содержания Mn заметно меньше, чем в пленках $\text{Ga}_{1-y}\text{Mn}_y\text{As}$ [17, 18]. Причина такого поведения объясняется увеличением размытия пространственного распределения атомов Mn при увеличении их содержания и, соответственно, приближением границы слоя Mn к квантовой яме.

Действительно, согласно недавним расчетам [14], температура Кюри в гетероструктурах с косвенным обменным взаимодействием магнитных примесей через двумерный канал при высокой подвижности дырок ($k_Fl \gg 1$, k_F — импульс Ферми, l — длина свободного пробега дырок) определяется следующим выражением:

$$\frac{\kappa T_C}{I_0 n_\mu a^3} \approx 2\beta \frac{\lambda}{a} \gamma^2 \exp\left(-\frac{4\Delta}{\lambda}\right), \quad (1)$$

где I_0 — характерная энергия обменного взаимодействия, составляющая примерно 0.1 эВ [14], $n_\mu a^3 \approx y$ — эффективное содержание примесей в слое Mn, $\beta = \langle \psi^2 \rangle / \psi_{max}^2 \approx 0.7$ и $\gamma = \psi^2(0) / \psi_{max}^2$ — коэффициенты, характеризующие изменение волновой функции дырок в направлении их поперечного квантования, λ — характерная длина убывания волновой функции за пределами квантовой ямы, которая тем больше, чем выше концентрация дырок в квантовой яме и, соответственно, электрическое поле, прижимающее дырки к гетерогранице со стороны слоя Mn, Δ — ширина GaAs-спейсера между

квантовой ямой и размытым слоем атомов Mn²⁾. Доминирующим фактором в определении величины T_C является экспоненциальный множитель в формуле (1). Увеличение содержания Mn в наших образцах приводит к уменьшению концентрации дырок в канале вследствие сильного увеличения степени компенсации (см. таблицу и обсуждение рис. 2) и соответствующему убыванию величины λ . Однако, как следует из результатов рентгеновских измерений (см. рис. 1), это убывание компенсируется уменьшением эффективной толщины Δ спейсера вследствие большего размытия слоя Mn. Если при содержании Mn, равном примерно 0.5 моносл. (образец № 2), квантовая яма и слой Mn пространственно разделены четко определенным спейсером шириной $\Delta \approx 10 \text{ \AA}$, то в случае образца № 1 (1.2 моносл.) такой спейсер отсутствует (рис. 1). Изменение размытия Mn-слоя с увеличением его содержания и является, на наш взгляд, основной причиной слабой зависимости T_C от N_{Mn} в области reentrant-перехода металл–изолятор в исследуемых образцах.

Выражение (1) позволяет оценить температуру Кюри для образца № 2 ($p = 7 \cdot 10^{11} \text{ см}^{-2}$), в котором $k_F l \approx 10$. Перед этим, однако, следует сделать следующее замечание. Эффективное содержание Mn в слое определяется его шириной L , которая согласно данным рентгеновской рефлектометрии равна примерно $60 \text{ \AA} \approx 10$ моносл., середина Mn-слоя удалена от квантовой ямы примерно на 40 \AA , а зазор между краем слоя Mn и квантовой ямой $\Delta \approx 10 \text{ \AA}$ (см. рис. 1). При этом технологически заданная удаленность середины Mn-слоя составляет около 30 \AA , что (при $\Delta \approx 10 \text{ \AA}$) соответствует $L \approx 40 \text{ \AA} \approx 7$ моносл. Возможные причины расхождения связаны с необходимостью использования для рентгеновской рефлектометрии достаточно длинных (около 15 мм) образ-

²⁾ В работе [14] предполагается, что заселен только нижний энергетический уровень треугольной квантовой ямы. Уровни энергии в такой яме могут быть рассчитаны с помощью приближенного (но достаточно точного) соотношения $\varepsilon_n \approx \varepsilon_0(4n/3 + 1)^{2/3}$ ($n = 0, 1, \dots$), из которого следует, что $\varepsilon_1 \approx 2\varepsilon_0$, т. е. расстояние между первым ($n = 0$) и вторым ($n = 1$) уровнями примерно равно энергии ε_0 основного уровня. Например, для образца № 2: $\varepsilon_0 \approx 50 \text{ мэВ} \approx 500 \text{ К}$, что существенно превышает характерную температуру эксперимента (около 50 К). Другое предположение — прямоугольное расположение магнитных примесей. В наших структурах оно, скорее, колоколообразное. Это, в принципе, легко учитывается в рамках модели [14] и приводит всего лишь к появлению дополнительного численного множителя близкого к единице в выражении для температуры Кюри. Это и понятно, так как последняя определяется в основном теми примесями, которые расположены наиболее близко к каналу проводимости (см. уравнение (1)).

зов, неоднородность которых может влиять на результат измерений. Таким образом, для образца № 2 имеем $y \approx 0.5$ моносл. / (7–10) моносл. ≈ 0.05 –0.07, в согласии с данными рентгеновских измерений, приведенных на рис. 1.

Далее, воспользовавшись результатами работы [14], найдем значения $\lambda \approx 26 \text{ \AA}$ и $\gamma \approx 0.5$, зависящие от разрыва ΔE_v валентной зоны на гетерогранице и эффективной массы носителей (в нашем случае при $x \approx 0.2$ имеем $\Delta E_v \approx 100 \text{ мэВ}$ [20], $m^* \approx 0.14m_0$). Тогда согласно соотношению (1), $T_C \approx 20$ –28 К, что совпадает с экспериментально найденной величиной $T_C \approx 30 \text{ К}$ для данного образца и, тем самым, свидетельствует о существенной роли дырок квантовой ямы в ферромагнитном упорядочении.

Дополнительными аргументами в пользу этого утверждения являются результаты исследования магнитосопротивления и эффекта Холла. Как известно, в случае GaMnAs при приближении к ферромагнитному переходу начинает проявляться отрицательное магнитосопротивление (ОМС), обусловленное магнитным беспорядком и спин-зависящими эффектами в рассеянии носителей [1]. ОМС проявляется в непосредственной окрестности ферромагнитного перехода [1, 17, 18] и, в зависимости от типа проводимости образца с уменьшением температуры либо уменьшается (образцы с металлическим типом проводимости), либо продолжает увеличиваться, достигая гигантской величины [18, 21].

На рис. 3 представлены результаты измерения продольного сопротивления R_{xx} в зависимости от магнитного поля для образцов с металлическим (рис. 3a) и активационным (рис. 3b) типами проводимости. Для металлического образца № 2 при ориентации магнитного поля перпендикулярно плоскости структуры наблюдаются ярко выраженные осцилляции Шубникова–де Газа. Однако в поле, параллельном плоскости структуры (см. вставку к рис. 3a), эти осцилляции отсутствуют, доказывая двумерный характер спектра дырок.

В соответствии с отмеченными выше результатами [1, 17, 18, 21] для обоих образцов, представленных на рис. 3, наблюдается ОМС и его величина для образцов с активационным типом проводимости гораздо больше, чем в случае металлической проводимости. При этом величина ОМС в образце с металлической проводимостью составляет примерно 3 %, что в случае ориентации магнитного поля в плоскости структуры характерно для ферромагнитных металлических пленок GaMnAs при гелиевой температуре и обычно связывается со спин-зависящим ОМС [18].

Для образца № 1 с активационным типом проводимости доминирует гигантское ОМС, обусловленное спин-зависящими эффектами — с ростом поля сопротивление падает в 3 раза.

Неожиданным оказалось, что и в образце с активационным типом проводимости на фоне ОМС проявляются особенности, связанные с осцилляциями Шубникова–де Гааза. О квантовой природе этих осцилляций свидетельствует выход холловского сопротивления на плато $R_{xy} \approx R_K = h/e^2$, где R_K — сопротивление Клитцинга, отвечающее единственному заполненному уровню Ландау, т. е. ультраквантовому пределу (см. рис. 3б). При концентрации дырок $p = 3 \cdot 10^{11} \text{ см}^{-2}$ переход к этому пределу должен наблюдаться в поле $B \geq p(h/e) \approx 12 \text{ Тл}$, что разумно согласуется с результатами эксперимента.

Одновременное наблюдение квантовых эффектов, присущих высококачественным двумерным объектам, а, с другой стороны, активационной проводимости и гигантского спин-зависящего ОМС, обусловленного магнитным беспорядком, свидетельствует о двух вкладах в проводимость образца и фазовом расслоении двумерной системы (см. работу [22] и ссылки там). В нашем случае это — расслоение образца на содержащие вырожденный двумерный дырочный газ большие мезоскопические области (с размером D_m , существенно превышающим длину l свободного пробега дырок), которые разделены узкими парамагнитными (диэлектрическими) слоями с характерной толщиной D_d . Такая картина подтверждается приведенными ниже оценками величин l и D_d .

Величину D_d оценим, исходя из температурной зависимости сопротивления $R_{xx}(T)$ образца № 1 (см. вставку к рис. 2) и анализа возможных механизмов транспорта дырок в диэлектрических областях. Зависимость $R_{xx}(T)$ в данном случае носит активационный характер, причем ниже температуры Кюри энергия активации проводимости существенно убывает. В области высоких температур ($T > T_C \approx 24 \text{ K}$) доминирует перенос дырок за счет их термического заброса через барьеры, разделяющие металлические области с вырожденными дырками. Высота $\Delta\varepsilon$ этих барьеров совпадает с энергией активации проводимости и составляет в нашем случае $\Delta\varepsilon = 10.5 \text{ мэВ}$. При понижении температуры ($T < T_C$) происходит переход к тунNELльному транспорту дырок (аналогичная ситуация наблюдается и в диэлектрических пленках GaMnAs [21]). Этот переход, по-видимому, обусловлен уменьшением размеров диэлектрических прослоек за счет увеличения размеров металлических

областей и/или увеличением высоты барьеров за счет усиления локализации носителей в условиях локального ферромагнитного перехода [21, 23]³⁾. При $T = T_C$ вероятность $w_a \sim \exp(-\Delta\varepsilon/kT)$ теплового надбарьерного переброса дырок сравнивается с вероятностью $w_t \sim \exp(-2D_d/\lambda)$ их туннелирования между металлическими областями (здесь $\lambda = \hbar/(2m^*\Delta\varepsilon)^{1/2}$ — длина затухания волновой функции под барьером высотой $\Delta\varepsilon$). Для $T_C \approx 24 \text{ K}$ получаем $D_d \approx (\hbar/2k_B T_C)\sqrt{\Delta\varepsilon/2m^*} \approx 13 \text{ нм}$.

Оценим теперь длину l свободного пробега дырок в вырожденных областях при $T = 5 \text{ K}$, полагая, что при высоких температурах ($T = 77 \text{ K}; kT \sim \Delta\varepsilon$) подвижность дырок, найденная по эффекту Холла, близка к микроскопической подвижности дырок в вырожденных областях (в действительности, она даже выше из-за шунтирующего влияния проводимости по слою атомов Mn). Кроме того, естественно предположить, что с понижением температуры в образце № 1 подвижность дырок в вырожденных областях увеличивается так же, как и в металлических образцах № 2, 3 (в 1.6 раза при уменьшении T от 77 K до 5 K). Таким образом, для образца № 1 при $T = 5 \text{ K}$ получаем микроскопическую подвижность около $2200 \text{ см}^2/\text{В}\cdot\text{с}$, что дает $l = 20 \text{ нм}$.

Таким образом, из наших оценок следует, что в диэлектрическом образце размер мезоскопических областей с вырожденным двумерным дырочным газом составляет $D_m \geq 100 \text{ нм}$, тогда как размер разделяющих их диэлектрических прослоек $D_d \sim 10 \text{ нм}$.

Перейдем теперь к обсуждению результатов исследования эффекта Холла, которому в случае систем $\text{A}_{1-y}^{\text{III}} \text{Mn}_y \text{B}^{\text{V}}$ обычно уделяется большое внимание [1, 24]. Это связано с тем, что в данных материалах имеется значительный аномальный вклад R_{xy}^a в эффект Холла:

$$R_{xy} = \frac{\rho_{xy}}{d} = R_{xy}^n + R_{xy}^a = \frac{R_0}{d}B + \frac{R_s}{d}M, \quad (2)$$

где d — толщина проводящего канала (в нашем случае — канала квантовой ямы), R_{xy}^n и R_{xy}^a — нормальная и аномальная компоненты холловского сопротивления, R_0 — постоянная нормального эффекта Холла, R_s — константа аномального эффекта Холла, обусловленного спин-орбитальным взаимодействием дырок и их спиновой поляризацией, пропорциональной намагниченности M . Аномальный эффект Холла целиком определяется взаимодействием между

³⁾ Несмотря на большое количество экспериментальных данных, в которых данный переход наблюдался, модель для его описания пока отсутствует.

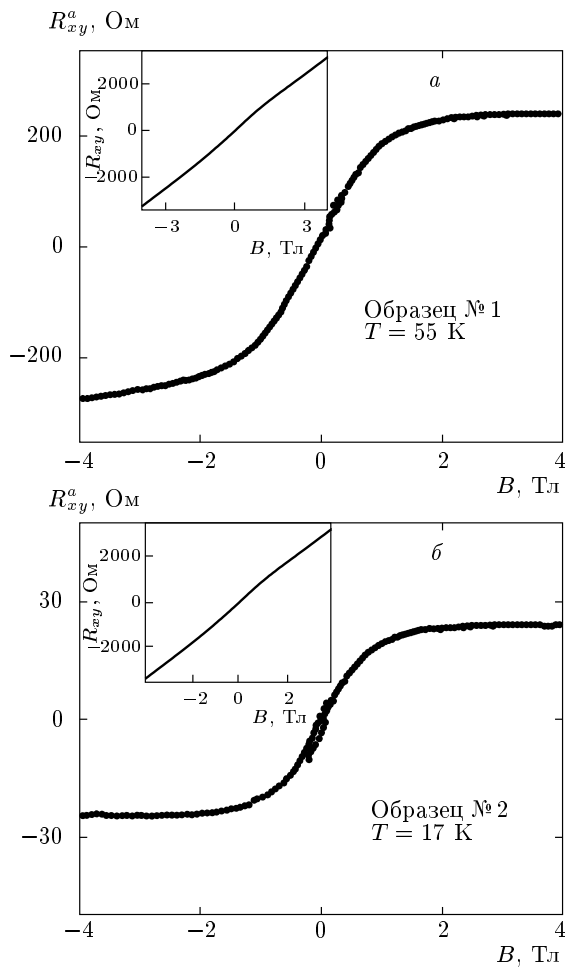


Рис. 4. Магнитополевые зависимости аномальной компоненты холловского сопротивления для диэлектрического образца № 1 (а) и металлического образца № 2 (б). На верхних вставках — магнитополевые зависимости полного холловского сопротивления для этих образцов, включающие компоненту нормального эффекта Холла

носителями заряда и магнитной подсистемой и в РМП типа GaMnAs заметно проявляется вплоть до температур равных примерно $(2\text{--}3)T_C$ [17, 24]. При исследовании гетероструктур с δ-слоем Mn [9] аномальный эффект Холла, по сути, являлся единственным методом изучения магнитного упорядочения, поскольку выделить малую величину намагниченности M при магнитных измерениях чрезвычайно сложно в силу сильного диамагнетизма объемных подложек.

Результаты исследования эффекта Холла в наших структурах в слабых полях ($\omega_c\tau < 1$,

$\omega_c = eB/m^*c$ — циклотронная частота) приведены на рис. 4. Видно, что в наших образцах наблюдается аномальный эффект Холла, это указывает на наличие спиновой поляризации дырок в канале. Наличие спиновой поляризации дырок наблюдалось и в аналогичных структурах при исследовании поляризации люминесценции [25]. Наличие спиновой поляризации, связанной с намагниченностью, а не с внешним полем, говорит в пользу взаимодействия дырок с атомами Mn и, тем самым, в пользу их участия в обменном взаимодействии атомов Mn и формировании ферромагнитного упорядочения.

Как следует из экспериментальных данных, нормальная компонента R_{xy}^n значительно больше аномальной (на 1, 2 порядка соответственно для образцов № 1, 2), и потому для выделения R_{xy}^a мы использовали специальную методику, суть которой состоит в следующем. Величину R_0 , определяющую обычный эффект Холла, можно достаточно точно найти из зависимости $R_{xy}(B)$ в сильных магнитных полях, если учесть, что R_{xy}^n в этих условиях линейно изменяется с полем, а аномальный вклад R_{xy}^a насыщается, вслед за насыщением намагниченности M (см. формулу (2)). После этого сопротивление определяется путем вычитания зависимостей $R_{xy}(B)$ и $R_{xy}^n(B)$. На рис. 4 приведены полученные таким образом данные для диэлектрического образца № 1 при $T = 55$ К и для металлического образца № 2 при $T = 17$ К (при более высоких температурах отношение $R_{xy}^a/R_{xy}^n = \rho_{xy}^a/\rho_{xy}^n$ оказывается достаточно малым и находится за пределами погрешности измерений).

Покажем, что в нашем случае малость отношения ρ_{xy}^a/ρ_{xy}^n определяется не малостью аномальной холловской компоненты σ_{xy}^a проводимости, а большой величиной нормальной холловской компоненты σ_{xy}^n . Действительно, из соотношений $\sigma_{xy}^a = \rho_{xy}^a/\rho_{xx}^2$ и $\sigma_{xy}^n = \rho_{xy}^n/\rho_{xx}^2$ следует, что в не очень сильных магнитных полях

$$\sigma_{xy}^n = \frac{pe^2}{m^*}\omega_c \left(\frac{\tau^2}{1 + \omega_c^2\tau^2} \right) \propto \tau^2$$

при выполняющемся в нашем случае условии $\omega_c\tau < 1$. С другой стороны, недавние теоретические результаты [13] показывают, что основной вклад в аномальный эффект Холла в магнитных двумерных структурах на основе РМП вносит так называемый «собственный» или бездисипативный механизм, при котором σ_{xy}^a не зависит от времени релаксации импульса. Таким образом, $\rho_{xy}^a/\rho_{xy}^n = \sigma_{xy}^a/\sigma_{xy}^n \propto \tau^{-2}$, т. е. относительный вклад аномальной составляющей тем меньше, чем

больше подвижность носителей. Не удивительно поэтому, что до настоящего момента аномальный эффект Холла наблюдался только в магнитных гетероструктурах с очень низкой подвижностью носителей заряда (менее $10 \text{ см}^2/\text{В}\cdot\text{с}$) [9].

Наконец, из рис. 4 следует, что $\sigma_{xy}^a \approx 0.17e^2/h$ для образца №1 и $\sigma_{xy}^a \approx 0.07e^2/h$ для образца №2, что хорошо согласуется с результатами теоретических расчетов аномального эффекта Холла в двумерных структурах [13], согласно которым величина σ_{xy}^a по порядку составляет $0.1e^2/h$ и определяется, в основном, «собственным» механизмом. Разница величин σ_{xy}^a для образцов №1, 2 связана, по-видимому, с различной степенью спиновой поляризации дырок в этих образцах в силу различия содержания Mn в них (см. таблицу) и глубиной проникновения атомов Mn в спейсер (рис. 1). Таким образом, экспериментальные результаты подтверждают теоретические предсказания [13] о том, что «собственный» механизм играет главную роль в формировании аномального эффекта Холла в двумерных структурах.

4. ЗАКЛЮЧЕНИЕ

Представленные данные свидетельствуют о возможности ферромагнитного упорядочения удаленных от квантовой ямы атомов Mn в структурах GaAs/In_xGa_{1-x}As/GaAs с двумерным дырочным каналом. Это подтверждается наблюдением максимумов на температурных зависимостях сопротивления, положение которых согласуется с недавними расчетами [14] температуры ферромагнитного перехода в гетероструктурах с косвенным обменным взаимодействием магнитных примесей через двумерный дырочный канал. О том же свидетельствуют отрицательное спин-зависящее магнитосопротивление и аномальный эффект Холла, величина которого коррелирует с результатами теоретических расчетов для двумерных ферромагнитных систем A_{1-y}^{III}Mn_yB^V и указывает на доминирующую роль собственного механизма формирования аномального эффекта Холла в наших объектах. Мы полагаем, что наблюдаемые при низких температурах в структурах с активационным типом проводимости особенности магнитосопротивления и аномального эффекта Холла свидетельствуют о фазовом расслоении — разбиении образца на мезоскопические ферромагнитные области, отделенные друг от друга туннельно прозрачными параметрическими прослойками.

Работа выполнена при финансовой поддержке РФФИ (гранты №№ 09-02-00579, 08-02-00719, 08-02-01462, 07-02-00927).

ЛИТЕРАТУРА

1. T. Jungwirth, Jairo Sinova, J. Mašek et al., Rev. Mod. Phys. **78**, 809 (2006).
2. *Semiconductor Spintronics and Quantum Computation*, ed. by D. D. Awschalom, D. Loss, and N. Samarth, Springer (2002).
3. S. Sugahara and M. Tanaka, J. Appl. Phys. **97**, 10D503 (2005).
4. K. S. Burch, D. B. Shrekenhamer, E. J. Singley et al., Phys. Rev. Lett. **97**, 087208 (2006).
5. L. P. Rokhinson, Y. Lyanda-Geller, Z. Ge et al., Phys. Rev. B **76**, 161201(R) (2007).
6. K. W. Edmonds, K. Y. Wang, R. P. Campion et al., Appl. Phys. Lett. **81**, 3010 (2002).
7. D. J. Priour, Jr., E. H. Hwang, and S. Das Sarma, Phys. Rev. Lett. **92**, 117201 (2004).
8. T. Wojtowicz, W. L. Lim, X. Liu et al., Appl. Phys. Lett. **83**, 4220 (2003).
9. A. M. Nazmul, T. Amemiya, Y. Shuto et al., Phys. Rev. Lett. **95**, 017201 (2005); A. M. Nazmul, S. Sugahara, and M. Tanaka, Phys. Rev. B **67**, 241308 (2003).
10. D. Neumaier, K. Wagner, S. Geißler et al., Phys. Rev. Lett. **99**, 116803 (2007).
11. T. Dietl, A. Haury, and Y. Merle d'Aubigne, Phys. Rev. B **55**, 3347(R) (1997); A. Haury, A. Wasiela, A. Arnoult et al., Phys. Rev. Lett. **79**, 511 (1997).
12. Б. А. Аронзон, В. А. Кульбачинский, В. Г. Гурин и др., Письма в ЖЭТФ **85**, 32 (2007).
13. S. Y. Liu and X. L. Lei, Phys. Rev. B **72**, 195329 (2005); V. K. Dugaev, P. Bruno, M. Taillefumier et al., Phys. Rev. B **71**, 224423 (2005).
14. Е. З. Мейлихов, Р. М. Фарзетдинова, Письма в ЖЭТФ **87**, 568 (2008).
15. J. E. Schiber, I. J. Fritz, and L. R. Dawson, Appl. Phys. Lett. **46**, 187 (1985); G. M. Minkov, A. A. Sherstobitov, A. V. Germanenko et al., Phys. Rev. B **71**, 165312 (2005).
16. М. А. Чуев, Б. А. Аронзон, Э. М. Пашаев, И. А. Субботин, В. В. Рыльков, М. В. Ковалчук, В. В. Квардаков, П. Г. Медведев, Микроэлектроника **37**, 83 (2008).

17. F. Matsukura, H. Ohno, A. Shen, and Y. Sugawara, Phys. Rev. B **57**, 2037R (1998).
18. A. Oiwa, S. Katsumoto, A. Endo et al., Sol. St. Comm. **103**, 209 (1997); A. Oiwa, S. Katsumoto, A. Endo et al., Physica B **249–251**, 775 (1998).
19. K. W. Edmonds, P. Boguslavski, K. Y. Wang et al., Phys. Rev. Lett. **92**, 037201 (2004).
20. Ю. В. Васильева, Ю. Н. Данилов, А. А. Ершов и др., ФТП **39**, 87 (2005).
21. A. Van Esch, L. Van Bockstal, J. De Boeck et al., Phys. Rev. B **56**, 13103 (1997).
22. J. Jaroszynski, T. Andreadczyk, G. Karczewski et al., Phys. Rev. B **76**, 045322 (2007).
23. S. Caprara, V. V. Tugushev, and N. Chumakov, ЖЭТФ **128**, 351 (2005); S. Caprara, N. K. Chumakov, S. Gudenko, and V. Tugushev, Phys. Rev. B **74**, 104204 (2006).
24. H. Ohno, J. Magn. Magn. Mater. **200**, 110 (1999); H. Ohno and F. Matsukura, Sol. St. Comm. **117**, 179 (2001).
25. M. V. Dorokhin, Yu. A. Danilov, P. B. Demina et al., J. Phys. D **41**, 245110 (2008).